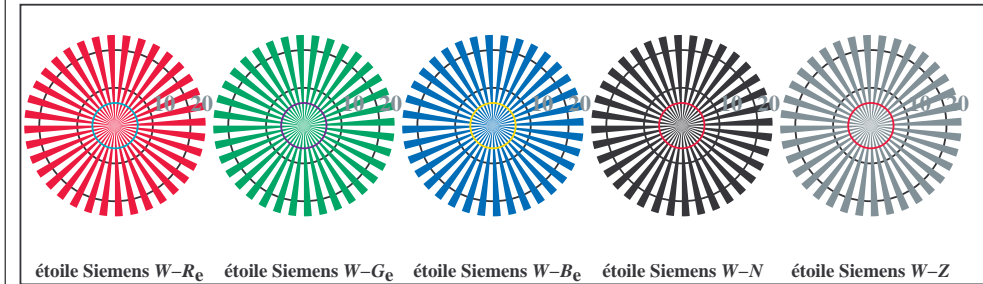


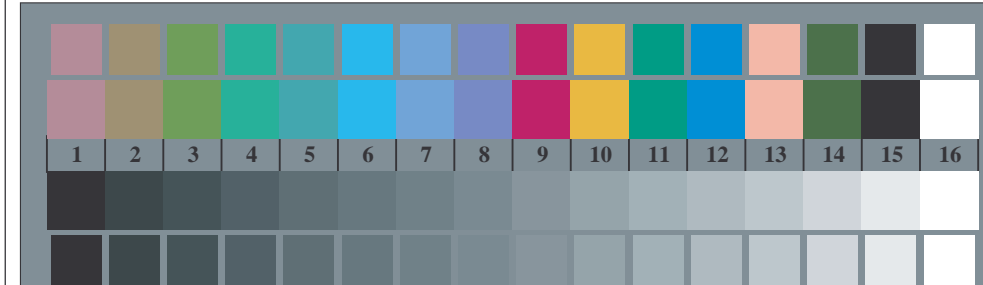


TF860-3, Fig. D1Wde: motif fleuri, 14 CIE test couleurs et 2 + 16 paliers de gris (sf); ; PS opérateur: 4 colorimage

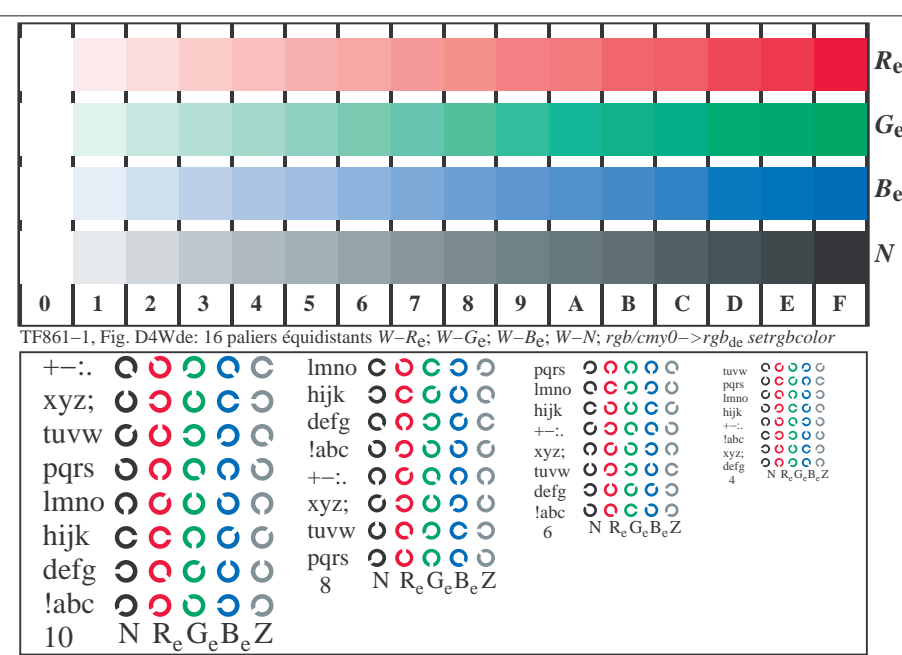


étoile Siemens $W-R_e$ étoile Siemens $W-G_e$ étoile Siemens $W-B_e$ étoile Siemens $W-N$ étoile Siemens $W-Z$

TF860-5, Fig. D2Wde: étoile de Siemens $W-R_e$; $W-G_e$; $W-B_e$; $W-N$; PS opérateur : $rgb \rightarrow rgb_{de} setrgbcolor$



TF860-7, Fig. D3Wde: 14 CIE test couleurs et 2 + 16 paliers de gris (sf); PS opérateur: $cmy0 \rightarrow rgb_{de} setrgbcolor$

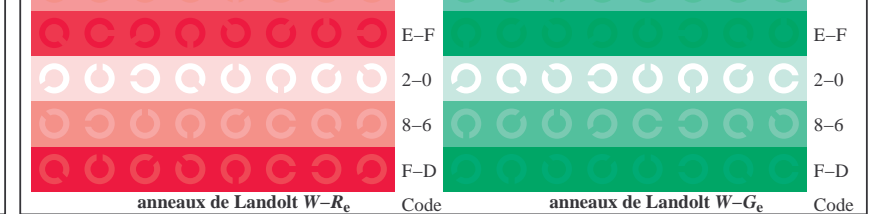


+-.: xyz; tuvw pqrs lmno hijk defg !abc xyz; tuvw pqrs lmno hijk defg !abc xyz; tuvw pqrs lmno hijk defg !abc 6 N $R_e G_e B_e Z$

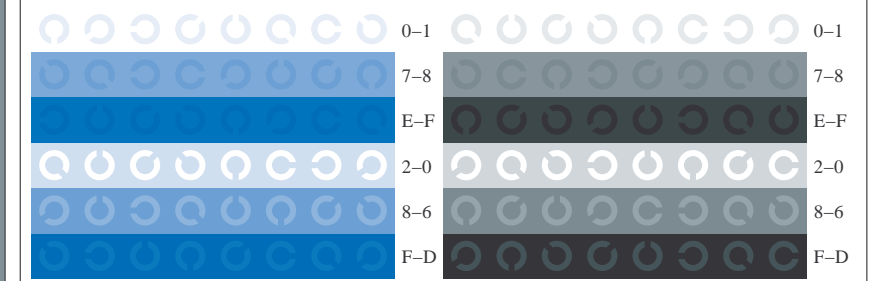
+-.: xyz; tuvw pqrs lmno hijk defg !abc xyz; tuvw pqrs lmno hijk defg !abc 8 N $R_e G_e B_e Z$

10 N $R_e G_e B_e Z$

TF861-3, Fig. D5Wde: code et anneau de Landolt N ; R_e ; G_e ; B_e ; Z ; PS opérateur: $rgb \rightarrow rgb_{de} setrgbcolor$



TF861-5, Fig. D6Wde: anneaux de Landolt $W-R_e$; $W-G_e$; PS opérateur: $rgb \rightarrow rgb_{de} setrgbcolor$



TF861-7, Fig. D7Wde: anneaux de Landolt $W-B_e$; $W-N$; PS opérateur: $rgb \rightarrow rgb_{de} setrgbcolor$